

کیفیت فازی و نسل جدیدی از شاخصهای کارآیی

عباس پرچمی^۱ و مashaالله ماشین چی^۲

abbasparchami@gmail.com, mashinchi@mail.uk.ac.ir

چکیده

مفهوم کیفیت فازی که برپایه‌ی مفهوم مجموعه‌های فازی مطرح می‌شود، در اغلب محیط‌های صنعتی قابل استفاده می‌باشد. در این مقاله، حدود مشخصه‌ی فنی به عنوان دو کران فازی درنظر گرفته شده، و برای محاسبه‌ی فاصله‌ی میان این دو کران فازی، یک فاصله‌ی جدید معرفی شده است. سپس برپایه‌ی فاصله‌ی معرفی شده و در حالتی که کیفیت به صورت فازی معرفی شود، شاخصهای کارآیی فرایند تعمیم داده شده‌اند. همچنین روابط میان شاخص‌های کارآیی تعمیم‌یافته مطرح و مورد بررسی قرار گرفته است.

واژه‌های کلیدی: کیفیت فازی، حدود مشخصه فنی، شاخص کارآیی فرآیند.

۱ مقدمه

بستگی ندارند. شخصی که مسئول تعیین حد مشخصه‌ی بالایی (USL)^۳ و حد مشخصه‌ی پایینی (LSL)^۴ است باید آگاهی کامل در مورد تغییرپذیری فرآیند داشته باشد. از آنجا که هیچ رابطه ریاضی یا آماری بین حدود کنترل^۵ و حدود مشخصه‌ی فنی وجود ندارد، بدیهی است که در بعضی از مواقع تشخیص این حدود همراه با ابهام^۶ بوده و این ابهام به کمک نظریه‌ی مجموعه‌های فازی^۷ می‌تواند در قالب یک مجموعه‌ی فازی مطرح گردد.

از جمله ابزار کنترل کیفیت، شاخص‌های کارآیی فرآیند هستند. با درنظر گرفتن چنین شاخص‌هایی می‌توان تغییرپذیری یک فرآیند تولیدی را که می‌تواند شامل انحرافات با دلیل باشد، با توجه به نیازها و مشخصات فنی محصول، کمی کرد و با

امروزه بیشتر کالاهای مصرفی با سیستم‌های تولیدی انبوه ساخته می‌شوند و به سبب پراکندگی عوامل دخیل در تولید، به ندرت اقلام تولید شده از جهات مختلف یکسان‌اند. مصرف کنندگان به دلیل پایین بودن نسبی قیمت کالاهایی که با چنین سیستم‌های تولیدی ساخته می‌شوند، پراکندگی در کیفیت آنها را، البته در محدوده‌ی مشخصی می‌پذیرند. از این رو تولید کننده باید سعی کند تا پراکندگی کیفیت را در داخل محدوده‌ی قابل قبولی حفظ نماید [۱]. این محدوده‌ی قابل قبول در یک LSL و USL تعیین می‌شود. منشاً معرفی و محاسبه‌ی این حدود به خارج از فرآیند مربوط است که معمولاً توسط مدیران، مهندسان طراح و یا مشتری تعیین می‌گردد و بدیهی است که به فرآیند تولید

^۱بخش آمار، دانشکده ریاضی و کامپیوتر، دانشگاه شهید باهنر کرمان

^۲بخش آمار، دانشکده ریاضی و کامپیوتر، دانشگاه شهید باهنر کرمان

^۳Upper specification limit

^۴Lower specification limit

^۵Control limits

^۶Fuzziness

^۷Fuzzy set theory

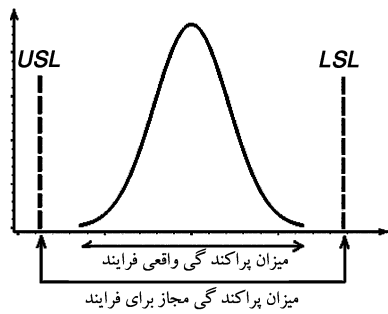
تعییم می‌دهیم. روابط میان شاخص‌های کارآیی تعییم یافته را در بخش ششم بررسی می‌کنیم.

۲ شاخص‌های کارآیی فرآیند

تعريف ۱ [۱] شاخص کارآیی فرایند آماره‌ای است برای برآورد توانایی ذاتی یک فرایند تولیدی و بررسی چگونگی عملکرد فرایند تولیدی نسبت به حدود مشخصه‌ی فنی محصول.

کارکردن با این نوع شاخص‌ها بسیار راحت است زیرا اطلاعات در مورد یک فرآیند تصادفی پیچیده را در یک قالب عدد ساده خلاصه می‌کنند. بدیهی است که برای بررسی، تجزیه و تحلیل یک فرآیند، کافی است رفتار مشخصه‌ی کیفیت فرآیند را نسبت به حدود مشخصه‌ی فنی ارزیابی کرد. به این منظور ژوران [۶] نسبت پهنای حدود مشخصه‌ی فنی به پهنای حدود تلرانس طبیعی (σ) را به عنوان اولین شاخص کارآیی فرآیند به صورت زیر معرفی کرد (شکل ۱)

$$C_p = \frac{USL - LSL}{\sigma} \quad (1)$$



شکل ۱. شرحی نموداری برای معرفی شاخص ژوران.

این شاخص تنها وقتی کارآیی دارد که $M = \mu$ ، که در آن $M = (USL + LSL)/2$ و همچنین σ به ترتیب میانگین و انحراف معیار مشخصه‌ی کیفیت می‌باشد. برای رفع محدودیت تطابق μ بر M ، کان [۷] شاخص کارآیی زیر را

استفاده از آن، به حذف یا کاهش این تغییرپذیری کمک نمود. از دیگر کاربردهای شاخص‌های کارآیی فرآیند، تشخیص کارآیی (یا عدم کارآیی) یک فرآیند تولیدی می‌باشد [۲]. علاوه بر این می‌توان با یاری گرفتن از این شاخص‌ها، چندین فرایند تولیدی را با یکدیگر مقایسه کرده و مناسبترین فرآیند را انتخاب نمود.

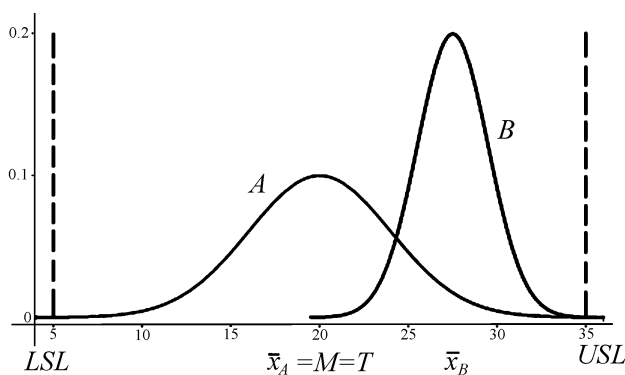
لی [۸] و هونگ [۴] شاخص C_{pk} را به صورت یک عدد فازی برای داده‌های فازی تعییم دادند. در چنین حالتی، تسای [۱۷] نیز شاخص کارآیی C_p را به عنوان یک عدد فازی تعییم داد. در بحث کنترل کیفیت، منصفانه‌تر آن است که عملاً به جای استفاده از مشخصه‌ی کیفیت دقیق و غیر فازی از مشخصه‌ی کیفیت انعطاف‌پذیر و فازی استفاده کنیم. یانگتینگ [۱۶] و [۱۸] با استفاده از فرمول احتمال یک پیشامد فازی، که قبلاً توسط زاده ارائه شده بود، اولین شاخص کارآیی فرایند را بر مبنای کیفیت فازی ارائه نمود. سپس این ایده توسط صادق‌پور [۱۶] برای کیفیت چند بعدی نیز تعییم داده شد. در یک کار تحقیقاتی توسط پرچمی و همکاران [۱۲]، با استفاده از تمامی فواصل اطمینان از ۱۰۰ درصد تا ۰ درصد به طور همزمان، روشی نوین برای برآورد شاخص‌های کارآیی سنتی معرفی شده است. همچنین آنها اولین شاخص کارآیی فازی مثلثی را در حالتی که حدود مشخصه‌ی فنی اعداد فازی مثلثی در نظر گرفته شده‌اند معرفی و مورد بررسی آماری قراردادند [۱۱، ۱۰ و ۱۳]. معطی و همکاران [۹] شاخص‌های کارآیی فازی را برای حالتی که حدود مشخصه‌ی فنی به صورت اعداد فازی LR معرفی شده باشند، تعییم دادند.

در بخش دوم مقاله، مروری بر شاخص‌های کارآیی متدالول خواهیم داشت. در بخش سوم، به معرفی کران‌های فازی و نیز معرفی یک متر جدید بر روی کران‌های فازی خواهیم پرداخت و بر پایه‌ی آن، چندین شاخص کارآیی فرایند را در بخش چهارم

فرآیند می‌گیریم. اطلاعات به دست آمده از این دو نمونه در

زیر درج شده است (شکل ۲)

$$\bar{x}_A = 20, \quad s_A = 4, \quad \bar{x}_B = 27/5, \quad s_B = 2.$$



شکل ۲. مقایسه دو فرآیند با واریانس‌های نابرابر در مثال ۲.

حال با توجه به اینکه $LSL = 8$ و $USL = 20$ در نظر گرفته شده‌اند، شاخص‌های C_{pk} و C_p را به ترتیب با استفاده از (۱) و (۲) برای دو فرآیند به صورت زیر برآورد می‌کنیم

$$\begin{aligned} \hat{C}_p(B) &= 2/5, & \hat{C}_p(A) &= 1/25 \\ \hat{C}_{pk}(B) &= 1/25, & \hat{C}_{pk}(A) &= 1/25. \end{aligned}$$

ملاحظه می‌شود که از یک طرف با توجه به تساوی C_{pk} ها و از طرف دیگر عدم حساسیت C_p نسبت به انحراف μ از M نمی‌توان بوسیله‌ی شاخص‌های C_{pk} و C_p تصمیم درستی در مورد انتخاب یکی از دو فرآیند A و B گرفت. حال اگر مقدار هدف را برابر $T = 20$ در نظر بگیریم، می‌توانیم مقدار C_{pm} را با استفاده از (۳) برای دو فرآیند به صورت زیر برآورد کنیم

$$\hat{C}_{pm}(B) = 0/644, \quad \hat{C}_{pm}(A) = 1/25$$

و در نتیجه فرآیند A را برابر فرآیند B ارجحیت دهیم.

معرفی نمود

$$\begin{aligned} C_{pk} &= \frac{USL - LSL - 2|\mu - M|}{\sigma} \\ &= \frac{\min\{USL - \mu, \mu - LSL\}}{3\sigma} \end{aligned} \quad (۲)$$

سینگ و تاگوچی [۵] شاخص زیر را با توجه به مقدار هدف

معرفی شده‌ی T ، ارائه دادند

$$C_{pm} = \frac{USL - LSL}{\sqrt{E[(X - T)^2]}} = \frac{USL - LSL}{\sqrt{\sigma^2 + (\mu - T)^2}} \quad (۳)$$

همچنین پیرن و همکاران [۱۵] از ترکیب دو شاخص C_{pk} و C_{pm} شاخص کامل تری را به صورت زیر معرفی نمودند

$$\begin{aligned} C_{pmk} &= \frac{USL - LSL - 2|\mu - M|}{\sqrt{E[(X - T)^2]}} \\ &= \frac{USL - LSL - 2|\mu - M|}{\sqrt{\sigma^2 + (\mu - T)^2}} \end{aligned} \quad (۴)$$

مثال ۱ [۳] در یک فرآیند تولیدی نرمال، فرض کنید $USL = 20$ و $LSL = 8$. با توجه به اینکه میانگین و انحراف معیار نمونه‌ی اخذ شده از این فرآیند به ترتیب $\bar{x} = 16$ و $s = 2$ مشاهده شده است، مقدار شاخص C_p به صورت زیر برآورد می‌شود

$$\hat{C}_p = \frac{USL - LSL}{\sigma} = \frac{20 - 8}{2} = 6.$$

برآورد $\hat{C}_p = 1$ به آن معنی است که فرآیند کاراست به شرط آنکه میانگین فرآیند بر $M = 14$ منطبق باشد. ولی با توجه به مقدار $\bar{x} = 16$ این شرط برقرار نبوده و در نتیجه از شاخص استفاده می‌کنیم C_{pk}

$$\begin{aligned} \hat{C}_{pk} &= \frac{USL - LSL - 2|\bar{x} - M|}{\sigma} \\ &= \frac{20 - 8 - 2|16 - 14|}{2} = 0/667 \end{aligned}$$

مثال ۲ [۲] به منظور ارجحیت دادن و انتخاب یکی از دو فرآیند تولیدی A و B ، دو نمونه‌ی تصادفی مستقل از این دو

۳ کیفیت فازی

۱.۳ کران‌های فازی و فاصله‌ی میان دو کران فازی

$D(\widetilde{USL}, \widetilde{LSL})$ نشان داده و به صورت زیر تعریف می‌کنیم

$$D(\widetilde{USL}, \widetilde{LSL}) = \int_0^1 g(\alpha) (u_\alpha - l_\alpha) d\alpha, \quad (5)$$

که در آن $\widetilde{LSL}_\alpha = [l_\alpha, +\infty)$ و $\widetilde{USL}_\alpha = (-\infty, u_\alpha]$ و $g(\alpha)$ تابعی غیرنژولی روی بازه $[0, 1]$ می‌باشد به طوری که $\int_0^1 g(\alpha) d\alpha = 1$ و $g(0) = 0$ (به عنوان مثال، به ازای $g(\alpha) = (n+1)\alpha^n$ می‌توان g را به صورت $n=0, 1, 2, \dots$ در نظر گرفت).

نکته ۱ دو شرط $g(0) = 0$ و $\int_0^1 g(\alpha) d\alpha = 1$ تضمین می‌کنند که تعریف ۵ تعمیمی برای فاصله و تفاضل معمولی LSL می‌باشد. به عبارت دیگر، اگر کران‌ها و حدود غیرفازی USL و LSL را به ترتیب به صورت دو تابع نشانگر $I_{\{x|x \geq LSL\}}$ و $I_{\{x|x \leq USL\}}$ در نظر بگیریم، آنگاه به ازای هر α در بازه $[0, 1]$ خواهیم داشت $u_\alpha = USL$ و $l_\alpha = LSL$.

$$\begin{aligned} D(USL - LSL) &= \int_0^1 g(\alpha) (u_\alpha - l_\alpha) d\alpha \\ &= \int_0^1 g(\alpha) (USL - LSL) d\alpha \\ &= (USL - LSL) \int_0^1 g(\alpha) d\alpha \\ &= USL - LSL. \end{aligned}$$

به منظور سادگی محاسبات، بحث را برای دو حالت کران‌های فازی خطی و نمایی پی می‌گیریم و در هر مورد مثالی ارائه می‌دهیم.

۲.۳ کران‌های فازی خطی

تعریف ۶ کران بالای فازی $\widetilde{USL} \in F_U(\mathbb{R})$ را یک کران بالای فازی خطی می‌نامیم، هرگاه تابع عضویت آن به صورت

فرض کنید که مجموعه‌ی تمامی زیرمجموعه‌های فازی از اعداد حقیقی \mathbb{R} را با نماد $F(\mathbb{R})$ نشان دهیم. به عبارتی فرض کنید $.F(\mathbb{R}) = \{\tilde{A} | \tilde{A} : \mathbb{R} \rightarrow [0, 1]\}$

تعریف ۲ به ازای هر α متعلق به بازه $[0, 1]$ ، α -برش مجموعه‌ی فازی $\tilde{A} \in F(\mathbb{R})$ به صورت مجموعه‌ی معمولی $\tilde{A}_\alpha = \{x | \tilde{A}(x) \geq \alpha\}$ تعریف می‌شود.

تعریف ۳ اگر $\widetilde{USL} \in F(\mathbb{R})$ دارای سه شرط زیر باشد، آنگاه \widetilde{USL} یک کران بالای فازی نامیده می‌شود

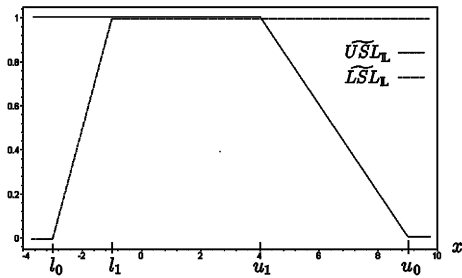
- (الف) \widetilde{USL} یک تابع غیرصعودی باشد،
- (ب) برد تابع \widetilde{USL} بازه $[0, 1]$ را پوشاند،
- (ج) وجود داشته باشد $u_1 \in \mathbb{R}$ به طوری که به ازای هر $x \leq u_1$ داشته باشیم $\widetilde{USL}(x) = 1$.

تعریف ۴ اگر $\widetilde{LSL} \in F(\mathbb{R})$ دارای سه شرط زیر باشد، آنگاه \widetilde{LSL} یک کران پایینی فازی نامیده می‌شود

- (الف) \widetilde{LSL} یک تابع غیرنژولی باشد،
- (ب) برد تابع \widetilde{LSL} بازه $[0, 1]$ را پوشاند،
- (ج) وجود داشته باشد $l_1 \in \mathbb{R}$ به طوری که به ازای هر $x \geq l_1$ داشته باشیم $\widetilde{LSL}(x) = 1$.

مجموعه‌ی تمام کران‌های بالایی و پایینی فازی را به ترتیب با نمادهای $F_L(\mathbb{R})$ و $F_U(\mathbb{R})$ نشان می‌دهیم.

تعریف ۵ اگر $\widetilde{LSL} \in F_L(\mathbb{R})$ و $\widetilde{USL} \in F_U(\mathbb{R})$ ، آنگاه فاصله‌ی میان دو کران فازی \widetilde{USL} و \widetilde{LSL} را با نماد



شکل ۳. توابع عضویت کران‌های بالای و پایینی فازی خطی در مثال ۳.

۳.۳ کران‌های فازی نمایی

تعريف ۸ کران بالای فازی $\widetilde{USL}_E \in F_U(\mathbb{R})$ را یک کران بالای فازی نمایی می‌نامیم، هرگاه تابع عضویت آن به صورت

زیر تعریف شود

$$\widetilde{USL}_E(x) = \begin{cases} 1 & \text{if } x \leq u_1, \\ e^{-\left(\frac{x-u_1}{s_u}\right)} & \text{if } x > u_1, \end{cases} \quad (9)$$

که برای سهولت آن را به اختصار با نماد $U(u_1, s_u)_E$ نشان می‌دهیم به طوری که $u_1, s_u \in \mathbb{R}$ و $s_u \geq 0$.

تعريف ۹ کران پایینی فازی $\widetilde{LSL}_E \in F_L(\mathbb{R})$ را یک کران پایینی فازی نمایی می‌نامیم، هرگاه تابع عضویت آن به صورت

زیر تعریف شود

$$\widetilde{LSL}_E(x) = \begin{cases} e^{-\left(\frac{x-l_1}{s_l}\right)} & \text{if } x < l_1, \\ 1 & \text{if } x \geq l_1, \end{cases} \quad (10)$$

که برای سهولت آن را به اختصار با نماد $L(l_1, s_l)_E$ نشان می‌دهیم به طوری که $l_1, s_l \in \mathbb{R}$ و $s_l \geq 0$.

قضیه ۲ فرض کنید ... $n = 0, 1, 2, \dots$ باشد، $g(\alpha) = (n+1)\alpha^n$. آنگاه برای هر دو کران بالایی و پایینی

زیر تعریف شود

$$\widetilde{USL}_L(x) = \begin{cases} 1 & \text{if } x \leq u_1, \\ \frac{x-u_0}{u_1-u_0} & \text{if } u_1 < x < u_0, \\ 0 & \text{if } u_0 \leq x, \end{cases} \quad (6)$$

که برای سهولت آن را به اختصار با نماد $U(u_1, u_0)_L$ نشان می‌دهیم به طوری که $u_1, u_0 \in \mathbb{R}$ و $u_1 \leq u_0$.

تعريف ۷ کران پایینی فازی $\widetilde{LSL}_L \in F_L(\mathbb{R})$ را یک کران

پایینی فازی خطی می‌نامیم، هرگاه تابع عضویت آن به صورت

زیر تعریف شود

$$\widetilde{LSL}_L(x) = \begin{cases} 0 & \text{if } x \leq l_0, \\ \frac{x-l_0}{l_1-l_0} & \text{if } l_0 < x < l_1, \\ 1 & \text{if } l_1 \leq x, \end{cases} \quad (7)$$

که برای سهولت آن را به اختصار با نماد $L(l_0, l_1)_L$ نشان می‌دهیم به طوری که $l_0, l_1 \in \mathbb{R}$ و $l_0 \leq l_1$.

قضیه ۱ فرض کنید ... $n = 0, 1, 2, \dots$

آنگاه برای هر دو کران بالایی و پایینی فازی خطی

$$\widetilde{LSL}_L = L(l_0, l_1)_L \text{ و } \widetilde{USL}_L = U(u_1, u_0)_L$$

$$D(\widetilde{USL}_L, \widetilde{LSL}_L) = \frac{1}{n+2} [(n+1)(u_1 - l_1) + (u_0 - l_0)]. \quad (8)$$

مثال ۳ در خط تولید یک محصول خاص، کران‌های فازی

«تقریباً بزرگتر از ۱» و «تقریباً کوچکتر از ۴»، که به ترتیب

$$\widetilde{LSL}_L = L(-3, -1)_L \in F_L(\mathbb{R})$$

$$\widetilde{USL}_L = U(4, 9)_L \in F_U(\mathbb{R})$$

و حدود مشخصه‌ی فازی فرایند در نظر گرفته شده‌اند (شکل ۳).

برای محاسبه‌ی فاصله‌ی میان این دو کران فازی خطی، اگر در

قضیه ۱ مقدار $n = 1$ فرض شود، آنگاه پهنای میان دو کران

$$D(\widetilde{USL}_L, \widetilde{LSL}_L) = \frac{2}{3} \simeq 7/333$$

محاسبه می‌شود.

تعريف ۱۱ در یک فرایند فازی تعمیم شاخصهای کارایی
(۱-۴) به صورت زیر می‌باشد

$$C_{\bar{p}} = \frac{D(\widetilde{USL}, \widetilde{LSL})}{\sigma}, \quad (12)$$

$$C_{\tilde{p}k} = \frac{D(\widetilde{USL}, \widetilde{LSL}) - 2|\mu - m|}{\sigma}, \quad (13)$$

$$C_{\tilde{p}m} = \frac{D(\widetilde{USL}, \widetilde{LSL})}{\sqrt{\sigma^2 + (\mu - T)^2}} \quad (14)$$

$$C_{\tilde{p}mk} = \frac{D(\widetilde{USL}, \widetilde{LSL}) - 2|\mu - m|}{\sqrt{\sigma^2 + (\mu - T)^2}}, \quad (15)$$

به طوری که $m = (l_1 + u_1)/2$ و T مقدار هدف می‌باشد. توجه شود که شاخص $C_{\bar{p}}$ در حالتی مورد استفاده قرار می‌گیرد که $\mu = m$ باشد.

نکته ۲ در یک فرایند فازی که حدود تلرانس فرایند به صورت فازی در نظر گرفته شده است، انتظار می‌رود که مرکز بازه‌ی تلرانس نیز فازی معرفی شود. این امر مستلزم معرفی مفهوم جدید جمع بر روى دو کران فازی است که در این مقاله برای سهولت در محاسبات از آن پرهیز شده و به تسامح $m = (l_1 + u_1)/2$ در نظر گرفته شده است.

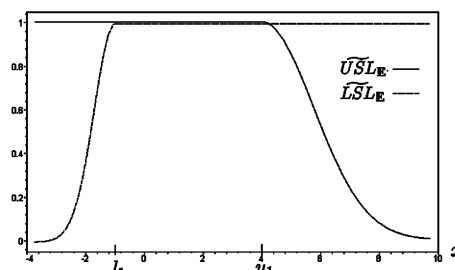
نکته ۳ اگر حدود مشخصه‌ی فنی غیرفازی و دقیق در نظر گرفته شوند، آنگاه با توجه به نکته ۱، شاخصهای کارایی معرفی شده در تعریف ۱۱ منطبق بر شاخصهای کارایی متداول یعنی شاخصهای (۱-۴) می‌باشند.

فازی نمایی $\widetilde{LSL}_E = L(l_1, s_l)_E$ و $\widetilde{USL}_E = U(u_1, s_u)_E$ داریم

$$D(\widetilde{USL}_E, \widetilde{LSL}_E) = [u_1 - l_1] + \sqrt{\frac{\pi}{4(n+1)}} [s_u + s_l]. \quad (11)$$

مثال ۴ در خط تولید یک محصول خاص، کران‌های فازی «تقریباً بزرگتر از ۱» و «تقریباً کوچکتر از ۴»، که به ترتیب بوسیله‌ی توابع عضویت $\widetilde{LSL}_E = L(-1, 1)_E \in F_L(\mathbb{R})$ معرفی می‌شوند، به عنوان حدود مشخصه‌ی فازی فرایند در نظر گرفته شده‌اند (شکل ۴). برای محاسبه‌ی فاصله‌ی میان این دو کران فازی نمایی، اگر در قضیه ۲ مقدار $n = 1$ فرض شود، آنگاه پهنه‌ای میان دو کران فازی برابر است با

$$D(\widetilde{USL}_E, \widetilde{LSL}_E) = 5 + \frac{3/5 \times \sqrt{2\pi}}{4} \simeq 7/193$$



شکل ۴. توابع عضویت کران‌های بالایی و پایینی فازی نمایی در مثال ۴

۴ اندازه‌گیری میزان کارایی در یک فرایند فازی

تعريف ۱۰ یک فرایند با حدود مشخصه‌ی بالایی و پایینی فازی $\widetilde{USL}_E \in F_U(\mathbb{R})$ و $\widetilde{LSL}_E \in F_L(\mathbb{R})$ را که در آن $l_1 \leq u_1$ و مشخصه‌ی کیفیت فرایند دارای توزیع نرمال می‌باشد، به اختصار یک فرایند فازی گوییم.

$$C_{pmk} \sim \frac{C_p \sim C_{pk} \sim}{C_p \sim}$$

قضیه ۵ در یک فرایند فازی داریم
نکته ۴ با توجه به نکات ۱ و ۲، بدیهی است که تمامی روابط مطرح شده بین شاخص‌های کارایی تعمیم‌یافته در قضایای ۳، ۴ و ۵ میان شاخص‌های کارایی متداول نیز برقرار می‌باشد.

با قبول فرض این که مقدار هدف $T = 5/5$ و حدود مشخصه‌ی فنی فازی به صورت $L(0, 4)_L \in F_L(\mathbb{R})$ و $\widetilde{LSL}_L = L(0, 4)_L \in F_L(\mathbb{R})$ معرفی شده‌اند، میانگین و انحراف معیار فرایند به ترتیب بر روی محورهای افقی و عمودی شکل ۵ رسم شده‌اند. شباهت‌ها و تفاوت‌های رفتاری میان سه شاخص $C_p \sim$ ، $C_{pk} \sim$ و $C_{pm} \sim$ نسبت به تغییرات دو پارامتر μ و σ در این شکل مشاهده می‌شوند. به عنوان مثال، کلیه‌ی نقاط (μ, σ) در دو خط افقی منجر به مقدار $C_p \sim = 0/5$ و $C_{pk} \sim = 0/5$ می‌شوند. این خطوط نشان می‌دهند که شاخص $C_p \sim$ تنها تابعی از σ است و به μ نیز بستگی ندارد. دو شبه‌مثلثی که در شکل ۵ رسم شده‌اند، نشان‌دهنده‌ی نقاطی از صفحه‌ی μ, σ می‌باشند که منجر به مقدار $0/5$ و $1/5$ می‌شوند و بیانگر نحوه ارتباط $C_{pk} \sim$ با پارامترهای μ و σ می‌باشند. به ازای هر مقدار ثابت σ ، ماکزیمم مقدار شاخص $C_{pk} \sim$ ، به ازای $\mu = \frac{4+1}{4} = 5/4$ حاصل می‌شود که در این نقطه $C_p \sim$ بر $C_{pk} \sim$ منطبق می‌باشد. همچنین مجموعه‌ی نقاط (μ, σ) که در شرط $c = C_{pm} \sim$ و یا به طور معادل، در شرط $\left\{ D(\widetilde{USL}_L, \widetilde{LSL}_L) / 6c \right\}^2 = (\mu - T)^2 + (\sigma - 0)^2$ صدق می‌کنند، به ازای $c = 0/5$ و $c = 1$ دو نیم‌دایره‌ی رسم شده در شکل ۵ می‌باشند. به ازای هر مقدار ثابت σ ، ماکزیمم مقدار شاخص $C_{pm} \sim$ ، به ازای $\mu = T$ حاصل می‌شود که در این نقطه $C_{pm} \sim$ بر $C_p \sim$ منطبق می‌باشد.

مثال ۵ فرض کنید در مثال‌های ۳ و ۴ میانگین و انحراف معیار فرایند به ترتیب $1/5$ و $\sigma = \frac{2}{3}$ برآورد شده‌اند. در این صورت با استفاده از قضایای ۱ و ۲ و فرمول (۱۲) می‌توان شاخص کارایی $C_p \sim$ را به ترتیب به صورت زیر برآورد نمود

$$\begin{aligned} C_{\bar{p}} &= \frac{2(u_1 - l_1) + (u_0 - l_0)}{18\sigma} \\ &= \frac{2(4+1) + (9+2)}{12} \\ &\simeq 1/8.33 \end{aligned}$$

و

$$\begin{aligned} C_{\bar{p}} &= \frac{4[u_1 - l_1] + \sqrt{2\pi}[s_u + s_l]}{24\sigma} \\ &\simeq \frac{4(4+1) + 2/5 \cdot 7(2/5 + 1)}{16} \\ &\simeq 1/7.98. \end{aligned}$$

۵ روابط میان شاخص‌های کارایی فرایند تعمیم‌یافته

قضایای زیر را می‌توان به کمک فرمول‌های (۱۲)–(۱۵) اثبات نمود. هم‌چنین علاقمندان برای مشاهده‌ی اثبات این قضایا می‌توانند به مرجع [۱۴] رجوع نمایند.

قضیه ۳ در یک فرایند فازی داریم

$$(الف) C_p \sim \geq C_{pk} \sim \geq C_{pmk} \sim$$

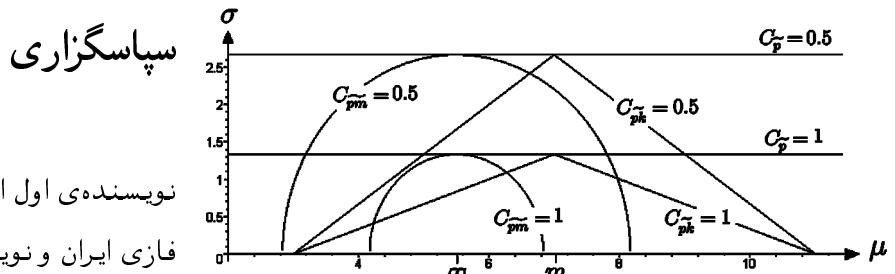
$$(ب) C_p \sim \geq C_{pm} \sim \geq C_{pmk} \sim$$

قضیه ۴ در یک فرایند فازی داریم

$$(الف) C_{pk} \sim = C_p \sim - \frac{1}{\sigma} |\frac{\mu - m}{\sigma}|$$

$$(ب) C_{pm} \sim = \frac{C_p \sim}{\sqrt{1 + (\frac{\mu - T}{\sigma})^2}}$$

$$(ج) C_{pmk} \sim = \frac{C_{pk} \sim}{\sqrt{1 + (\frac{\mu - T}{\sigma})^2}}$$



نویسنده‌ی اول از حمایت مالی جزیی قطب سیستم‌های فازی ایران و نویسنده‌ی دوم از حمایت مالی طرح ریاست جمهوری با شماره‌ی ۱۵-۸۳۸۵-۸-۱۳۸۵-۱۴۳-۸۵۳ تقدیر و تشکر می‌نمایند.

شکل ۵. رفتار سه شاخص کارآیی C_p , C_{pk} و $C_{pk̃}$ نسبت به تغییرات میانگین و انحراف معیار.

مراجع

- [۱] طارقیان، ح.ر. و بزرگ‌نیا، ا. (۱۳۷۶)، کاربرد سیستم‌های کنترل کیفیت با استفاده از روش‌های آماری، انتشارات دانشگاه فردوسی مشهد، چاپ اول.
- [۲] نورالسناء، ر. (۱۳۷۶)، کنترل کیفیت آماری، انتشارات دانشگاه علم و صنعت.
- [۳] یاوری، ع.ر. (۱۳۸۳)، شاخص‌های کارآیی فرآیند، پایان نامه کارشناسی ارشد آمار، دانشگاه شهید باهنر کرمان، دانشکده ریاضی و کامپیوتر.
- [۴] Hong, D.H. (2004), A note on C_{pk} index estimation using fuzzy numbers, *European Journal of Operational Research* 158(2), 529-532.
- [۵] Hsiang, T.C. and Taguchi, G. (1985), Tutorial on quality control and assurance-The Taguchi methods, *Joint Meetings of the American Statistical Association*, Las Vegas, Nevada, 188-195.
- [۶] Juran, J.M. (1974), *Juran's Quality Control Handbook*, 3rd edition, McGraw-Hill, New York.
- [۷] Kane, V.E. (1986), Process capability indices, *Journal of Quality Technology* 18, 41-52.
- [۸] Lee, H.T. (2001), C_{pk} index estimation using fuzzy numbers, *European Journal of Operational Research* 129 (3), 683-688.
- [۹] Moeti, M.T., Parchami, A. and Mashinchi, M. (2006), A note on fuzzy process capability indices, *Scientia Iranica* 13, Number 4, 379-385.
- [۱۰] Parchami, A., Mashinchi, M., Yavari, A.R. and Maleki, H.R. (2005), Process capability indices as fuzzy numbers, *Austrian Journal of Statistics* 34 (4), 391-402.

- [11] Parchami, A., Mashinchi, M. and Maleki, H.R. (2006), Fuzzy confidence intervals for fuzzy process capability index, *Journal of Intelligent & Fuzzy Systems* 17 (3), 287-295.
- [12] Parchami, A. and Mashinchi, M. (2007), Fuzzy estimations for process capability indices, *Information Sciences* 177, Issue 6, 1452-1462.
- [13] Parchami, A. and Mashinchi, M. (2006), Making decision to evaluate fuzzy process capability index, *Asian Fuzzy Systems Society (AFSS) International conference*, Boading, China, 28-33.
- [14] Parchami, A. and Mashinchi, M. (2008), A new generation of process capability indices, *Journal of Applied Statistics*, Submitted.
- [15] Pearn, W.L., Kotz, S. and Johnson, N. (1992), Distribution and inferentioal properties of capability indices , *Journal of Quality Technology* 24, 41-52.
- [16] Sadeghpour-Gildeh, B. (2006), Multivariate process capability index based on fuzzy tolerance region, *37-th Annual Iranian Mathematics Conference*, Azarbaijan University of Tarbiat Moallem, Tabriz, Iran, 607-610.
- [17] Tsai, C.C. and Chen, C.C. (2006), Making decision to evaluate process capability index C_P with fuzzy numbers, *The International Journal of Advanced Manufacturing Technology* 30, 334-339.
- [18] Yongting, C. (1996), Fuzzy quality and analysis on fuzzy probability, *Fuzzy Sets and Systems* 83, 283-290.